

# IMPULSVORTRAG

**MANAGEMENT & TOOLBOX: BOB Prophylactic use?**

DR. CESAR KHAZEN

CESAR.KHAZEN@MEDUNIWIEN.AC.AT



**TLE COMMUNITY & FRIENDS**  
The future belongs to those who prepare for it today!

**WISSENSCHAFTLICHE LEITUNG:**  
PD Dr. med. Samer Hakmi, Asklepios Klinik St. Georg  
Radisson Blu, Congressplatz 2, 20355 Hamburg

# PATIENT

**XY, 63, J.**

<b>19.01.2007</b>	<b>VT's, Z.n. CPR. Ein Kammer Defi (Doppel Coil Elektrode Med. 6949)</b>
<b>02.07.2014</b>	<b>SVT's, AV Block III. ERI Zwei Kammer Defi Up Grade (Med. 4076)</b>
<b>12.05.2017</b>	<b>Ventrikelektrode Bruch 6949 (Neu Doppel Coil Elektrode Med. 6947)</b>
<b>16.05.2022</b>	<b>Bruch der 2017 Implantierte 6947 Ventrikelektrode</b>

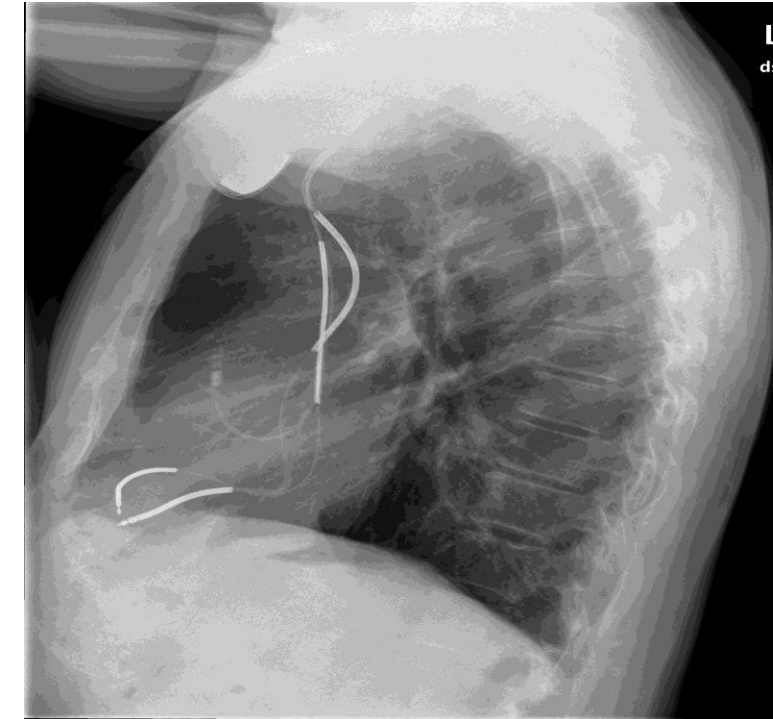
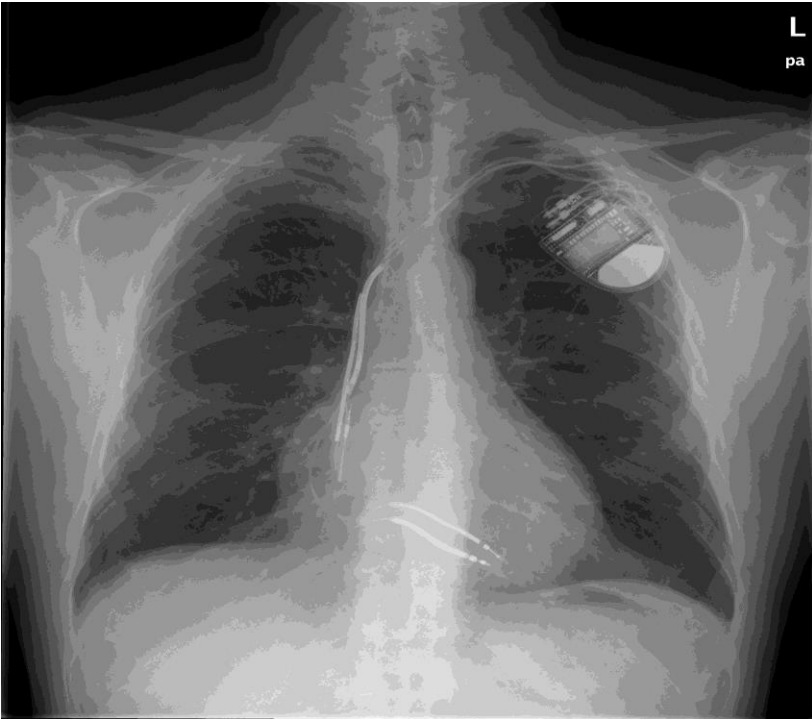
OP-Saal:	Eingriffsraum Herzchir.	OP-Saal:	Eingriffsraum Herzchir.	Einschleuszeit:	13:50
OP-Fach:	CH7	OP-Fach:	CH7	Übergabe an den Chirurgen:	14:00
OP-Datum:	02.07.2014	OP-Datum:	12.05.2017	Operationsbeginn:	14:10
				Operationsende:	15:05
				Ausschleuszeit:	15:20
<b>Diagnosen</b>	Z95.0 Vorhandensein eines kardialen elektronischen Geräts	<b>Diagnosen</b>	T82.1 Mechanische Komplikation durch ein kardiales elektronisches Gerät		
<b>Leistungen</b>	Aggregatwechsel bei einem automatischen Kardioverter-Defibrillator (LE=je Sitzung)	Z95.0	Vorhandensein eines kardialen elektronischen Geräts (St.p. ICD)		
	Medtronic DDBB2D1, Evera XT DR, SN:BWE600558S Medtronic 4076-52cm, SN:BBL038056G	999.9	Sonstige Ursachen exogener Noxen, nicht näher bezeichnet		
<b>Komplikationseingriff</b>	n.e.	<b>Leistungen</b>	Wechsel kardialer Schrittmachersonden (LE=je Sitzung)		
<b>Operationsindikation</b>	Zn ICD, nun EOS und SVT		Medtronic 6947 - 65 cm, Sn: TDG647059V Medtronic 5867-3M, Lot: 0213145237		
<b>Geplante Operation</b>	DEFI-Generatortausch	<b>Anästhesieverfahren</b>	LA		
<b>Operationsbericht</b>	Steriles Waschen und Abdecken des oberen Thorax, Infiltration mit 2%igem Xylocain links subklavikulär, Hautschnitt. Es wird eine Punktionskanüle eingebracht. Bei der Positionierung der Elektrode findet sich eine perfekte Reizschwelle. Fixierung der Elektrode. Es findet sich ein alter 1-Kammer-ICD, Freipräparation des Gerätes, Luxieren dieses und Diskonnektion der alten Elektrode. Die Vermessung zeigt optimale Werte. Nun Konnektierung der Vorhofelektrode. Einlegen des DEFIS in die bereits vorhandene Tasche, Fixieren des Gerätes, exakte Blutstillung, Desinfektion und schichtweiser Wundverschluß.	<b>Operationsindikation</b>	st.p. 2-Kammer-ICD 2014; Bruch der Ventrikelelektrode		
		<b>Geplante Operation</b>	Implantation einer neuen Ventrikelelektrode, Medtronic 6947-65cm		

#### Operation:

Implantation einer Defi.-Einkammersystems

Der Patient wird im aufgeklärten Zustand in den Operationssaal gebracht, dort monitiert und linke subclavicular steril gewaschen sowie abgedeckt. Sodann Infiltration mit 1%igem Xylocain, Hautschnitt 2 cm unter der Clavicula und Präparation bis zur Fascia pectoralis. Danach Punktions der Vena subclavia, Vorschlieben der rechtsventrikulären Sonde (Medtronic 6949-65 cm) und Vermessung sowie Verschraubung derselben - es zeigen sich optimale Werte. Aufgrund des athletischen Zustandes des Patienten wird entschieden, den Defibrillator unter dem M. pectoralis zu plazieren. Sodann Präparation des M. pectoralis, Spaltung der Faszie sowie des Muskels und Präparation einer Tasche sowie Spülung derselben mit H2O2. Vermessung der Elektrophysiologie: Es zeigen sich optimale Werte. Danach Einlegen des Systems in die Defi.-Tasche, zweimaliges Schocken ohne Probleme, Verschluß des M. pectoralis, der Subcutis dreimalig und subcutan mittels Maxon.

16.05.2022



# SETTING

OP-Saal: OP-Gruppe 2/Saal 6  
OP-Fach: HC1  
OP-Datum: 17.05.2022

Einschleuszeit: 10:20  
Übergabe an den Chirurgen: 11:18  
Operationsbeginn: 11:44  
Operationsende: 14:55  
Ausschleuszeit: 15:25

## Diagnosen

T82.1 Mechanische Komplikation durch ein kardiales elektronisches Gerät (St.p. 2K Defi)

## Leistungen

Implantation eines automatischen Kardioverter-Defibrillators (LE=je Sitzung)

Transvenöse Extraktion kardialer Schrittmachersonden (LE=je Sitzung)

## Operationsindikation

St.p. PCR, Erstimplantation eines 2-Kammer Defis 2007. 2017 gebrochene Elektrode und Tausch auf eine neue Doppelcoil-Elektrode, die alte Elektrode wurde stillgelegt und nicht extrahiert. Jetzt hat der Patient zwei Doppelcoil-Elektroden (V. cava superior), Dysfunktion der Elektroden. Dies gibt die Indikation zur Extraktion aller Elektroden und Neuimplantation eines 2-Kammer Defis mit Single Coil Elektrode.

## Geplante Operation

- Elektrodenextraktion aller Elektroden
- Neuimplantation eines 2-Kammer Defis mit Single Coil Elektrode Frustran

## Operationsbericht

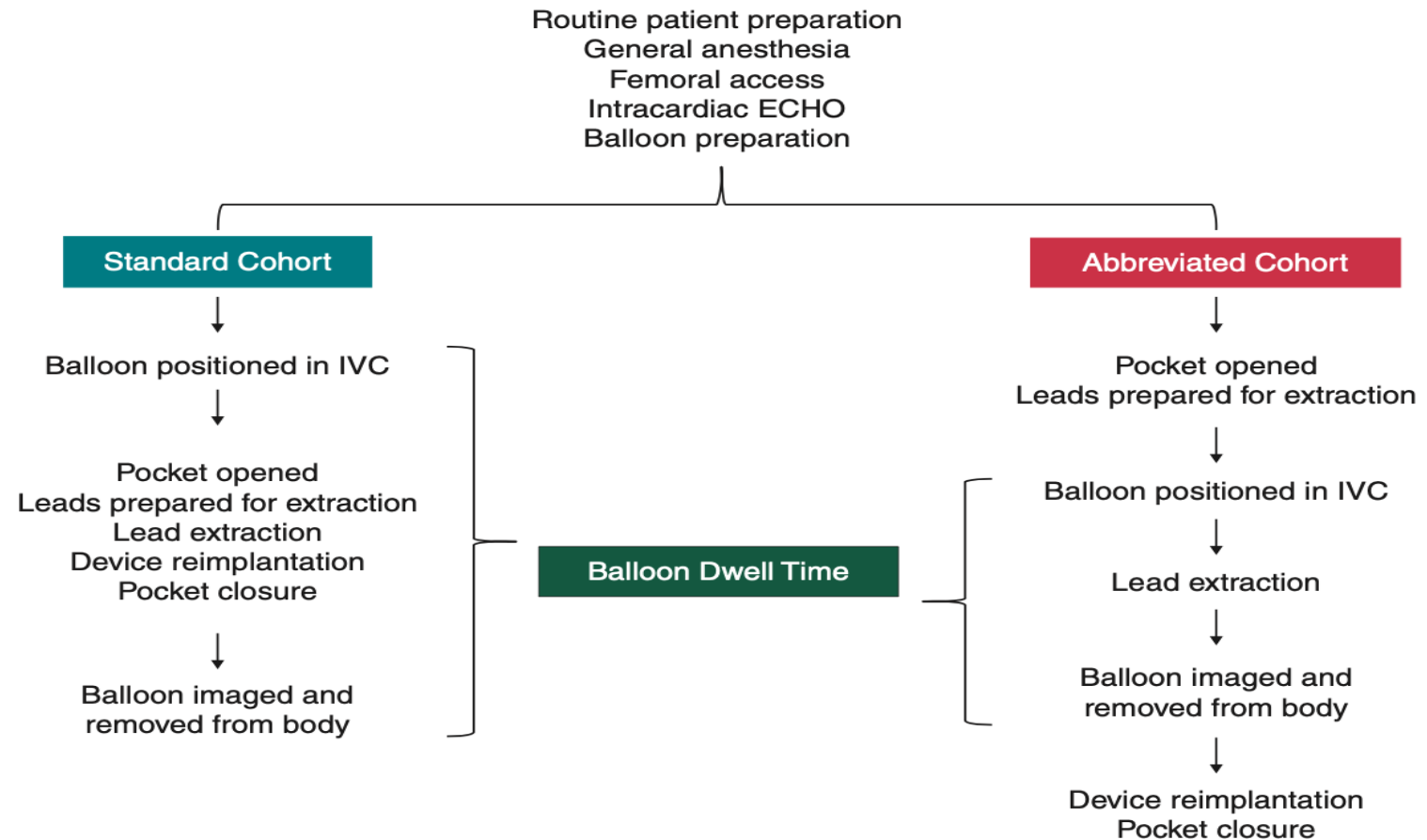
Intubationsnarkose. Unter hämodynamischem und respiratorischem Monitoring steriles Waschen und Abdecken des gesamten Thorax und beider Leisten. Transösophageales Echomonitoring. Zuerst venöse Punktions in der rechten Leiste, Einschieben eines Führungsdrähtes bis zur Cava superior. Einschieben eines Bridge-Ballon-Katheters sollte es zur Perforation der Cava kommen. Stilllegen des Ballons.

# SETTING

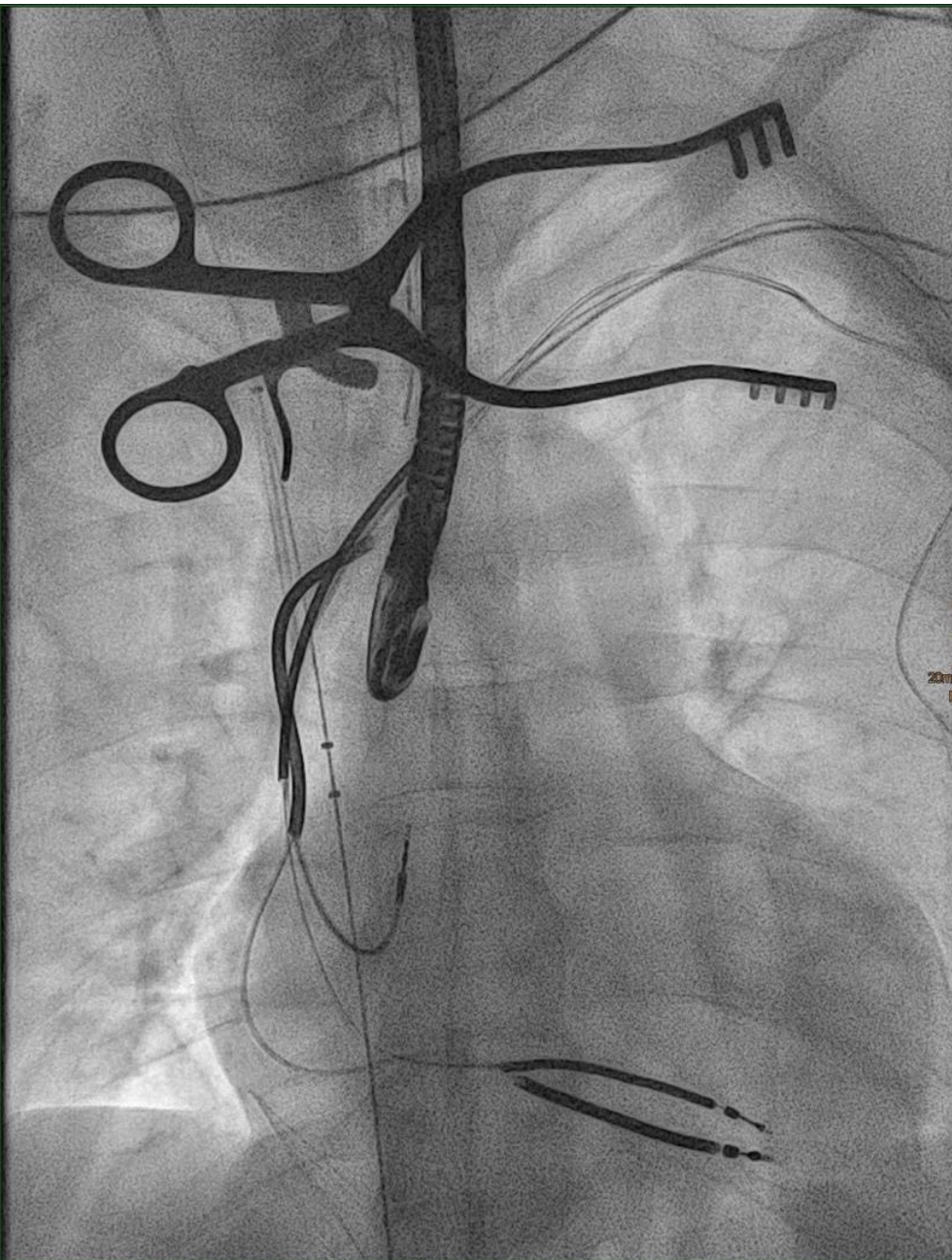


DR. KHAZEN CESAR, AKH WIEN

## Dwell time



**Figure 3** Procedural workflow and steps for the endovascular occlusion balloon insertion in the standard and abbreviated cohorts. ECHO, echocardiography; IVC, inferior vena cava.



DR. KHAZEN CESAR. AKH WIEN



## SVC Perforation:

- Diagnose (TEE)
- Bereitstellung:
  - Ballons
  - Vasopressoren
  - Transfusion
- Crush Stenotomie
- Blutung Kontrolle

## When would you choose to use Bridge?

Hemorragic shock classification<sup>4,5</sup>

**Class 1:** volume loss up to 15% of total blood volume, approximately 750ml

Non shock state  
(e.g. giving 1 unit of blood)<sup>4,5</sup>

**Class 2:** volume loss from 15% to 30% of total blood volume, from 750ml to 1500ml

Organs compromised – reduced oxygenation<sup>4,5</sup>

**Class 3:** volume loss from 30% to 45% of total blood volume, from 1500ml to 2000ml

Decompensation<sup>4,5</sup>

**Class 4:** volume loss over 40% of total blood volume

Pre-terminal<sup>5</sup>

### References

1. Tsang et al. Long-term outcomes of prophylactic placement of an endovascular balloon in the vena cava for high-risk transvenous lead extractions. HeartRhythm 2017;14:1833–1838.
2. Document on file, D026197. In an animal model with SVC tears up to 3.5 cm, with 2 pacing leads and 1 ICD lead.
3. Wilkoff et al. Bridge to surgery: Best practice protocol derived from early clinical experience with the Bridge Occlusion Balloon. Federated Agreement on the Elective Lead Management. HeartRhythm 2017;14:1794–1798.
4. Scher AI, Howard J, Convertino A. The physiology of blood loss and shock: New insights from a human laboratory model of hemorrhage. Experimental Biology and Medicine 2004;229:874–883.
5. Gutierrez et al. Clinical Review: Hemorrhagic Shock. Critical Care 2004; 8:373–381 (DOI: 10.1186/cc2851).
6. Tsang, BS; Bruce L'Wilkoff, MD; Roger G. Carrillo, MD. Endovascular Occlusion Balloon for Treatment of Superior Vena Cava Tears During Transvenous Lead Extraction: A Multi Year Analysis and an Update to Best Practice Protocol. Circ Arrhythm Electrophysiol. 2019;12:e007266. DOI: 10.1161/CIRCEP.119.007266.

©2023 Koninklijke Philips N.V. All rights reserved.  
Specifications are subject to change without notice.  
Approved for external distribution. D2023042601



Time to deployment



<15 seconds with prophylactic placement strategy<sup>1</sup>



120 seconds when ready in box and 12F introducer placed<sup>6</sup>

Circulatory  
Collapse

Median  
Sternotomy

Minor laceration

Active bleeding

Bleeding  
controlled with  
balloon

Not controlled

Consider off-  
pump repair

Initiate CPB

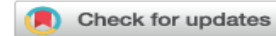
# Herz Lungen Maschine

Identifizieren der Perforation in der V. cava superior und Nähen mit 6.0 Prolene. Blutungsstillstand. Man sieht, daß von der V. anonyma wenig Blut kommt, Freipräparation der V. anonyma, dabei kann ein Abriss der V. anonyma in der Mündung zur V. cava von ungefähr 6 cm Länge identifiziert werden, dieser wird mit einem Perikardpatch verschlossen und exakte Blutstillung bevor unter HLM-Support alle Elektroden mit einem Evolution System extrahiert werden. Die Coils sind intramural verlaufen daher kam es zum Abriss. Danach Abgehen von der HLM, Protaminisierung, Blutstillung, Einlegen eines 33er mediastinalen Drains. Perikardadaptation. Exakte Blutstillung an der akuten Sternotomie. Einlegen eines temporären Schrittmachers. Es wird entschieden in dieser Sitzung keinen neuen Defi zu implantieren. Verschluß der Sternotomie, schichtweiser Wundverschluß.

- Der Patient wurde respiratorisch und hämodynamisch stabilisiert mit niedrige Noradrenalin und Dobutamin unterstützung auf die Intensivstation transferiert.
- Am 19.05.2022 Extubiert
- Am 25.05.2022 Zwei Kammer Defi Rechts
- Am 31.05.2022 mit blanden Wundverhältnissen und in gutem Allgemeinzustand konnte nach Hause entlassen.

Aufenthalt von 16.05.2022 bis 31.05.2022.

## Location of Superior Vena Cava Tears in Transvenous Lead Extraction

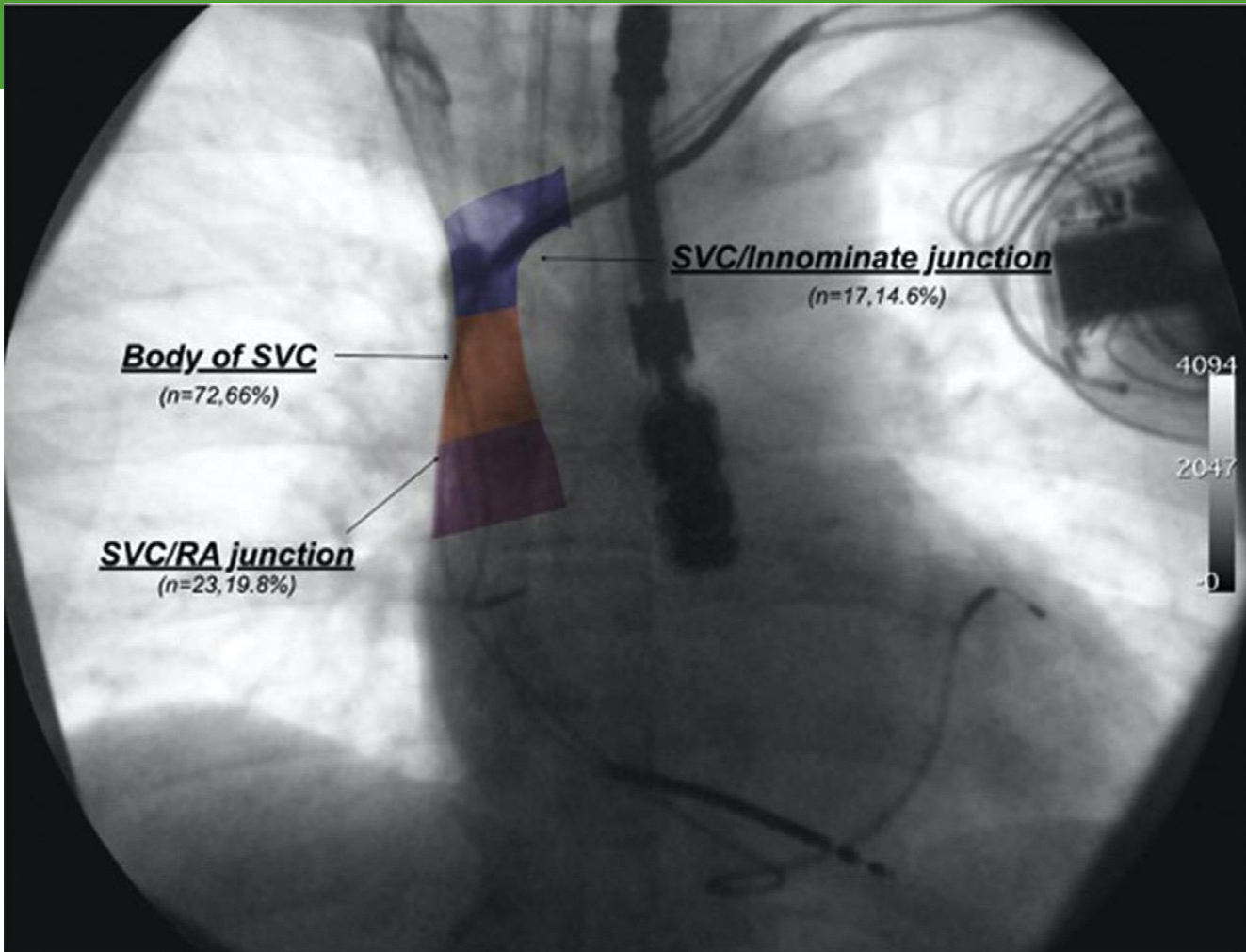


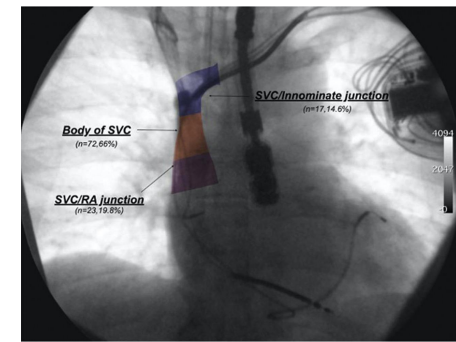
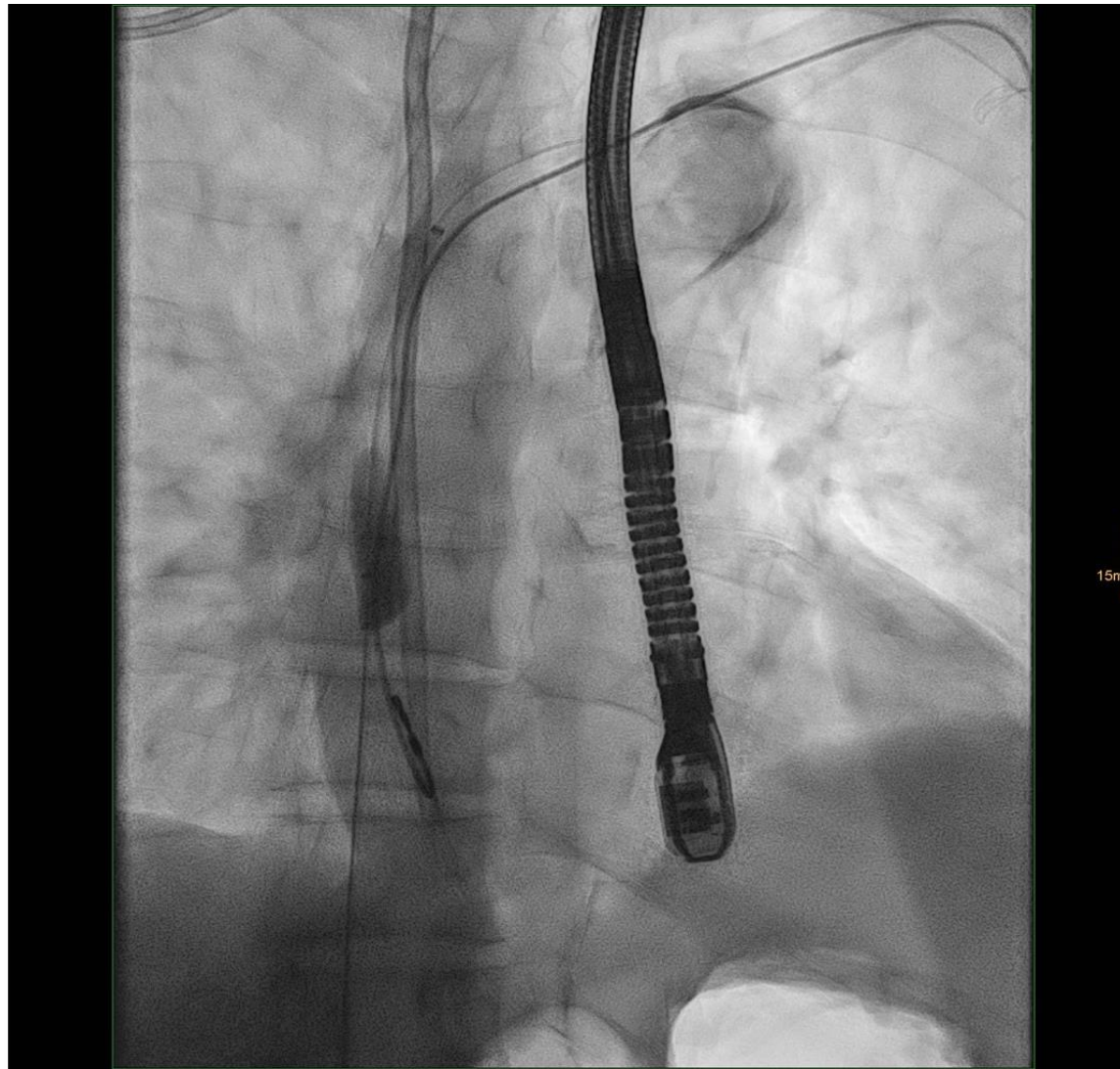
Yingyot Arora, BS, Lorenzo D'Angelo, MD, Ryan Azarrafy, MD, MPH, Jamil Bashir, MD, Charles Kennergren, MD, PhD, and Roger Carrillo, MD, MBA

University of Miami, Miller School of Medicine, Miami, Florida; The Heart Institute at Palmetto General Hospital, Hialeah, Florida; Division of Cardiac Surgery, The University of British Columbia, Vancouver, Canada; and Department of Cardiothoracic Surgery, The University of Göteborg, Gothenburg, Sweden

**METHODS** We collected data via physician interviews after an SVC laceration occurred. These physicians were identified through the US Food and Drug Administration's Manufacturer and User Facility Device Experience database and independent physician reports of adverse events. We identified 116 reports of SVC tears between July 1, 2016, and July 31, 2018. For an SVC tear to be included in our registry, a cardiothoracic surgeon had to be physically present to confirm the injury via emergent sternotomy. In each case, the surgeon recorded the SVC injury's exact location after a repair was attempted.

**RESULTS** During the study period, 116 SVC tears were confirmed by sternotomy. Tears occurred in any combination of the following locations: SVC–innominate vein, body of the SVC, and SVC–right atrial junction. The majority of tears ( $n = 72$ ; 62%) were located in the isolated body of the SVC, followed by the SVC–right atrial junction ( $n = 23$ ; 19.8%) and the SVC–innominate junction ( $n = 17$ ; 14.6%). Combined tears were rare, accounting for only 3.6% ( $n = 4$ ) of the adverse events recorded.





In 68 adverse events were recorded and 35 instances of SVC tears were identified

In 9 cases, the **occlusion balloon** was deployed, and **all were discharged alive** from hospital

The remaining 26 cases were managed with open surgery **without balloon endovascular occlusion**, and **only 13 (50%) survived** to discharge.

SVC tears occurred in patients identified as high risk of complications.

Balloon use significantly increased the likelihood of survival during the study period ( $p=0.013$ ).

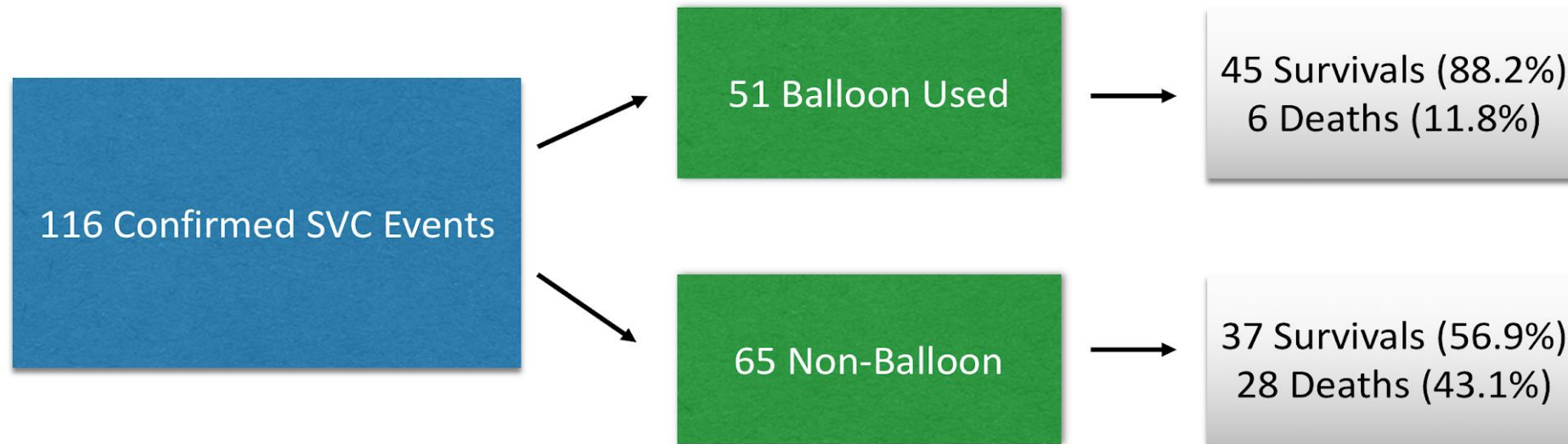
Roger Carrillo. HRS 2017:  
Endovascular occlusion balloon inclusion during lead extraction reduces mortality

> *Circ Arrhythm Electrophysiol*. 2019 Aug;12(8):e007266. doi: 10.1161/CIRCEP.119.007266.  
Epub 2019 Aug 12.

## **Endovascular Occlusion Balloon for Treatment of Superior Vena Cava Tears During Transvenous Lead Extraction: A Multiyear Analysis and an Update to Best Practice Protocol**

Ryan Azarrafy<sup>1</sup>, Darren C Tsang<sup>1</sup>, Bruce L Wilkoff<sup>2</sup>, Roger G Carrillo<sup>3</sup>

# July 1, 2016 to July 31, 2018

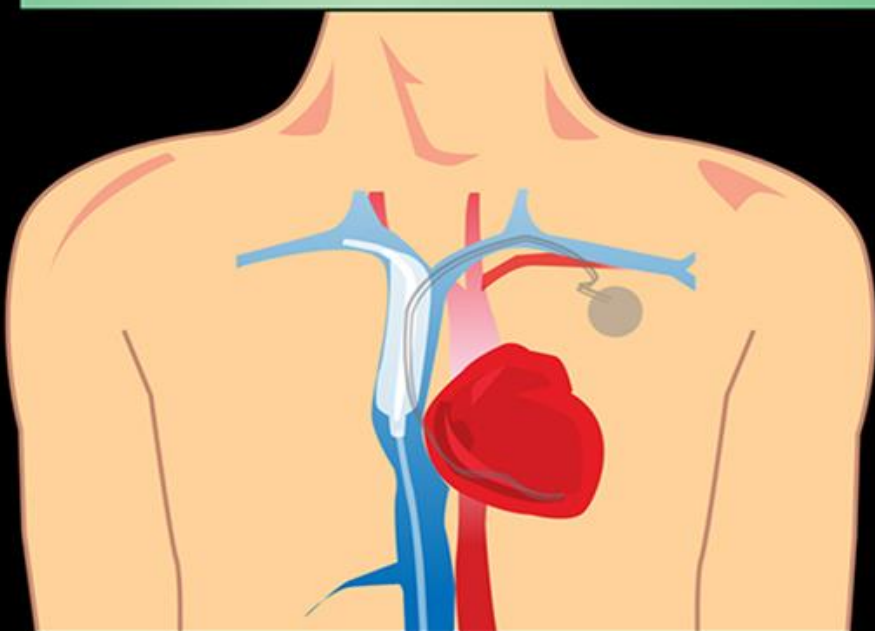


P=0.0002

99 Non-SVC Events

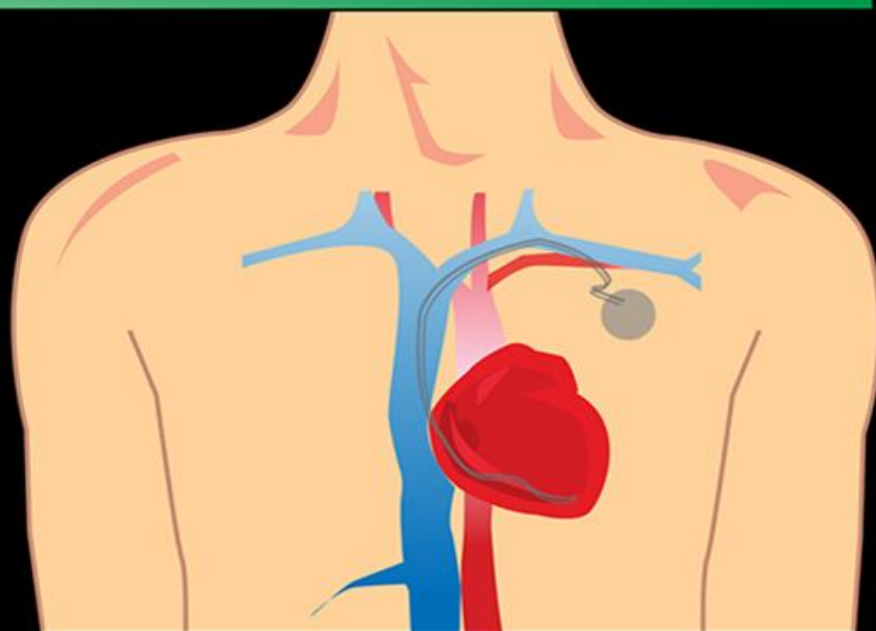
Courtesy Roger Carrillo

PATIENTS ARE MORE LIKELY TO SURVIVE AN SVC TEAR WHEN TREATMENT INCLUDES AN ENDOVASCULAR OCCLUSION BALLOON



n=51; 88.2% survival

p=0.0002



n=65; 56.9% survival

## Representative Axial and Reformatted Images with Different Fibrosis Scores:

- Fibrosis Scores 1 (Lumen central)
- Fibrosis Scores 2 (Abuts less 1 cm)
- Fibrosis Scores 3 (Abuts more 1 cm)
- Fibrosis Scores 4 (Outside)



HRS 2023 Bruce L. Wilkoff, MD, Cardiac Pacing and Tachyarrhythmia Devices, Cleveland Clinic

DR. KHAZEN CESAR, AKH WIEN

# ZUSAMMENFASSUNG

- Die Durchführung eines Transvenöse Elektrodenextraktion mit dem entsprechenden Fachwissen und den entsprechenden Werkzeugen und in der richtigen Umgebung ist einer der Eckpfeiler zur Reduzierung des TLE Verfahren Risikos.
- CT in „High Risk Patient“ könnte eine Interaktion zwischen Elektrode und obere Hohlvene darstellen und gibt wertvoll Information für die Prophylaktische BOB Anwendung.
- Die Verwendung von Bridge Okklusion Ballons in „High Risk Patient“ erhöh die Überlebenswahrscheinlichkeit erheblich.

# LAST BUT NOT LEAST

*HeartRhythm*

The Official Journal of the Heart Rhythm Society, The Cardiac Electrophysiology Society,  
and The Pediatric & Congenital Electrophysiology Society



Check for updates

## Enhancing transvenous lead extraction risk prediction: Integrating imaging biomarkers into machine learning models

Vishal S. Mehta, MBBS,<sup>1,2</sup> YingLiang Ma, PhD,<sup>2,3</sup> Nadeev Wijesuriya, MBBS,<sup>1,2</sup> Felicity DeVere, MBBS,<sup>1,2</sup> Sandra Howell, MBBS,<sup>1,2</sup> Mark K. Elliott, MBBS, PhD,<sup>1,2</sup> Nilanka N. Mannakakara, MBBS,<sup>1,2</sup> Tatiana Hamakarim,<sup>1,2</sup> Tom Wong, PhD, FHRS,<sup>1,2,4</sup> Hugh O'Brien, PhD,<sup>2</sup> Steven Niederer, DPhil,<sup>2,4</sup> Reza Razavi, PhD,<sup>1,2</sup> Christopher A. Rinaldi, MD, FHRS<sup>1,2,5</sup>

### ABSTRACT

**BACKGROUND** Machine learning (ML) models have been proposed to predict risk related to transvenous lead extraction (TLE).  
**OBJECTIVE** The purpose of this study was to test whether integrating imaging data into an existing ML model increases its ability to predict major adverse events (MAEs; procedure-related major complications and procedure-related deaths) and lengthy procedures ( $\geq 100$  minutes).

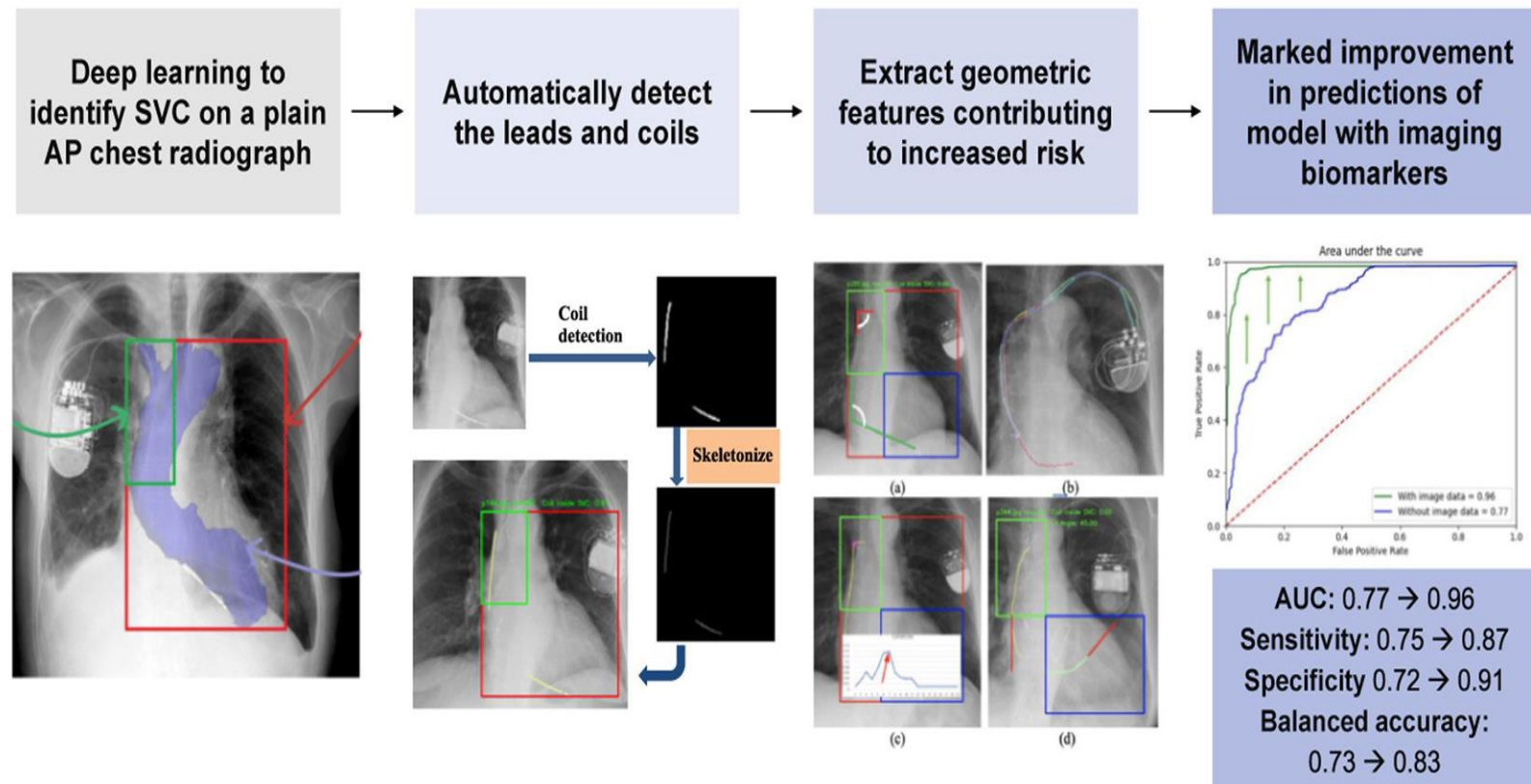
**METHODS** We hypothesized certain features—(1) lead angulation, (2) coil percentage inside the superior vena cava (SVC), and (3) number of overlapping leads in the SVC—detected from a pre-TLE plain anteroposterior chest radiograph (CXR) would improve prediction of MAE and long procedural times. A deep-learning convolutional neural network was developed to automatically detect these CXR features.

**RESULTS** A total of 1050 cases were included, with 24 MAEs (2.3%). The neural network was able to detect (1) heart border with 100% accuracy; (2) coils with 98% accuracy; and (3) acute angle in the right ventricle and SVC with 91% and 70% accuracy, respectively. The following features significantly improved MAE prediction: (1)  $\geq 50\%$  coil within the SVC; (2)  $\geq 2$  overlapping leads in the SVC; and (3) acute lead angulation. Balanced accuracy (0.74–0.87), sensitivity (68%–83%), specificity (72%–91%), and area under the curve (AUC) (0.767–0.962) all improved with imaging biomarkers. Prediction of lengthy procedures also improved: balanced accuracy (0.76–0.86), sensitivity (75%–85%), specificity (63%–87%), and AUC (0.684–0.913).

**CONCLUSION** Risk prediction tools integrating imaging biomarkers significantly increases the ability of ML models to predict risk of MAE and long procedural time related to TLE.

Heart Rhythm  
Volume 21, Issue  
**6, June 2024, Pages**  
**919-928**

# IMAGING BIOMARKERS SIGNIFICANTLY IMPROVES MAJOR ADVERSE EVENT RISK PREDICTION FOLLOWING TRANSVENOUS LEAD EXTRACTION



Vielen Dank für Ihre Aufmerksamkeit!